

Московский Физико-Технический Институт (Государственный Университет)  
Факультет Общей и Прикладной Физики

Институт Теоретической и Экспериментальной Физики  
Кафедра Теоретической Астрофизики и Квантовой Теории Поля

---

Выпускная квалификационная работа на степень магистра

Инстантоны и инварианты узлов

Выполнил студент 6 курса А.Г. Милехин  
Научный руководитель: д.ф.-м.н. А.С. Горский

Москва, 2015

# Содержание

<b>1</b>	<b>Введение</b>	<b>2</b>
<b>2</b>	<b>Супер КЭД и инварианты узлов</b>	<b>4</b>
2.1	Описание теории . . . . .	4
2.2	Вырожденный суперполином и числа Каталана . . . . .	6
2.3	Суперполином и пятимерная супер-КЭД . . . . .	9
2.4	Вырождения в полиномы ХОМФЛИ, Александера, Джонса . . . . .	11
<b>3</b>	<b>Киральное кольцо и Лагранжева брана</b>	<b>12</b>
<b>4</b>	<b>Поверхностный оператор и торические узлы</b>	<b>15</b>
4.1	Узлы как голоморфные инстантоны . . . . .	18
4.2	Стабильный предел . . . . .	20
<b>5</b>	<b>Инварианты узлов и <math>SU(2)</math> теория</b>	<b>21</b>
5.1	От Лагранжевой браны к $SU(2)$ теории с 4 флейворами . . . . .	21
5.2	Редукция в 4D . . . . .	23
<b>6</b>	<b>Дробный Черн-Саймонс</b>	<b>25</b>
<b>7</b>	<b>Обсуждение</b>	<b>27</b>
<b>A</b>	<b>Формула Джонса-Россо</b>	<b>28</b>
<b>B</b>	<b>Лагранжева брана и формула Д-Р</b>	<b>29</b>

# 1 Введение

Классическая работа Виттена [3] положила начало связи между квантовой теорией поля и инвариантами узлов. В этой работе было показано, что вакуумное среднее Вильсоновской петли в форме узла  $K$  в представлении  $R$  для  $SU(2)$  теории Черна-Саймонса на  $S^3$  равно полиному Джонса  $J(q)$  для этого узла:

$$\langle W_R(K) \rangle = J(q) \quad (1.1)$$

Уровень Черна-Саймонса  $k$  и переменная  $q$  связаны так:

$$q = \exp\left(\frac{2\pi i}{k+2}\right) \quad (1.2)$$

С тех пор это соотношение было рассмотрено с точки зрения топологических струн[4], поскольку известно, что открытая А-модель на  $T^*S^3$  дуальна теории Черна-Саймонса на  $S^3$ . При этом узел вырезается на  $S^3$  Лагранжевой браной. Также инварианты узлов были исследованы с точки зрения теории на этой Лагранжевой бране[5, 6]. Также было показано, как обобщить его на гомологии Хованова-Розанского[7] и суперполином[8]. Однако многие аспекты до сих пор остаются неясными.

Все известные соответствия, по-сути, основаны на уравнении (1.1) - т.е. статсумма заданной теории равна полиному одного конкретного узла. В этой работе мы исследуем пример, когда статсумма равна производящей функции для определенного семейства узлов, т.н. торических узлов - эти узлы могут быть нарисованы на 2-торе без самопересечений. При этом узел задается 2 взаимнопростыми числами  $(n, r)$ , которые отвечают числу намоток на 1-циклы тора.

Наш основной результат состоит в том, что вакуумное среднее кирального конденсата безмассового гипермультиплетта в пятимерной  $\mathcal{N} = 1$  суперсимметричной КЭД в присутствии поверхностного оператора(surface operator) является производящей функцией для полиномов ХОМФЛИ всех торических узлов. Полином ХОМФЛИ, при этом, берётся в фундаментальном представлении, а пятимерная теория компактифицирована на окружность длины  $\beta$ , находится в самодуальном  $\Omega$ -фоне с эквивариантным параметром  $\epsilon$  и также включает в себя антифундаментальный гипермультиплет массы  $m_a$ . Переменные  $q$  и  $A$  в полиноме выражаются следующим образом через параметры

теории:

$$q = \exp(-\beta\epsilon) \tag{1.3}$$

$$A = -\exp(-\beta m_a) \tag{1.4}$$

где  $m_a$  - масса антифундаментального гипермультиплета. Мы идентифицируем числа  $n$  и  $r$  как инстантонный и электрический заряды инстантона. С точки зрения топологических струн, в нашей картине узел рисуется не Лагранжевой браной, а голоморфным инстантоном. Для некоторого класса торических узлов нам удалось расширить это соответствие до суперполинома.

Данная работа основана на статьях [1, 2] и организована следующим образом:

В разделе 2 мы исследуем пятимерную суперсимметричную квантовую электродинамику (СКЭД) в  $\Omega$ -деформации и её связь с суперполиномом. В подразделе 2.1 мы опишем эту теорию. Затем, в 2.2, мы дадим небольшой обзор известной связи  $q, t$ -чисел Каталана, вырожденного суперполинома  $(n, n+1)$  торического узла и пятимерной СКЭД. Далее, в 2.3 мы расширим это соответствие до суперполинома  $(n, nk+1)$  торического узла. При этом  $k+1$  соответствует уровню пятимерного члена Черна-Саймонса,  $n$ -инстантонному числу. В конце раздела мы покажем, как суперполином связан с некоторыми другими инвариантами узлов.

Чтобы лучше понять природу второго числа  $nk+1$ , в секции 3 мы исследуем структуру кирального кольца в СКЭД и его связь с поверхностными операторами в теории. Это позволит нам в 4 обобщить соответствие между инстантонами и узлами до произвольного торического узла  $(n, r)$ , где  $r$  будет электрическим зарядом инстантона. Однако, к сожалению, полином, который мы при этом получим, не совпадает с известным суперполиномом для торических узлов. Тем не менее, он имеет целые положительные коэффициенты и даёт правильную редукцию к полиному ХОМФЛИ. В 4.1 мы покажем, используя геометрический переход, что узлы в нашей картине возникают как пересечение голоморфного инстантона топологических струн типа А и стопки Лагранжевых бран. Это позволит нам связать наш подход со стандартным подходом к полиномам узлов как Вильсоновским петлям в теории Черна-Саймонса. В 4.2 мы кратко рассмотрим так называемый стабильный предел, когда электрический заряд инстантона стремится к бесконечности.

Раздел 5 посвящён связи инстантонов в теории с неабелевой группой  $SU(2)$  с торическими узлами. В 5.1 мы, используя АГТ соответствие и открыто-замкнутую дуальность, свяжем абелеву теорию в присутствии поверхностного дефекта с  $SU(2)$  теорией с 4 флейворами со специальным выбором масс. В 5.2 мы рассмотрим предел в более

привычную  $D = 4, \mathcal{N} = 2$  теорию Зайнберга-Виттена и покажем, что в этом случае Некрасовская статсумма соответствует очень вырожденному полиному ХОМФЛИ.

В конце, в 6 мы приведём небольшое наблюдение о связи формулы Джонса-Россо и статсуммы пятимерной СКЭД с дробным членом Черна-Саймонса.

## 2 Супер КЭД и инварианты узлов

### 2.1 Описание теории

Пятимерная  $\mathcal{N} = 1$  квантовая электродинамика состоит из векторного поля  $A_A$ , 4-х компонентного Дираковского спинора  $\lambda$  и скалярного поля Хиггса  $\phi$ . Все они лежат в присоединённом представлении  $U(1)$ . Лагранжиан выглядит следующим образом:

$$\mathcal{L} = -\frac{1}{4g^2} F_{AB} F^{AB} + \frac{1}{g^2} (\partial_A \phi)^2 + \frac{1}{g^2} \bar{\lambda} \gamma^A \partial_A \lambda \quad (2.5)$$

$\gamma^A, A = 1, \dots, 5$  - пятимерные гамма матрицы. Поскольку присоединённое действие  $U(1)$  тривиально, это свободная теория.

Для регуляризации инстантонных вычислений Некрасовым [9] был предложен так называемый  $\Omega$ -фон который отвечает включению гравифотона, чья кривизна равна угловым скоростям вращения  $\epsilon_1, \epsilon_2$  двух трансверсальных плоскостей в  $\mathbb{R}^4$ .

Обсудим для начала чисто калибровочную теорию  $\mathcal{N} = 2$  супер Янга-Миллса в присутствии  $\Omega$ -фона в четырёх измерениях. Состав полей в теории следующий: векторное поле  $A_m$ , комплексный скаляр  $\varphi, \bar{\varphi}$  и 2 Вейлевских фермиона  $\Lambda_\alpha^I, \bar{\Lambda}_{\dot{\alpha}}^I$ , все лежат в присоединённом представлении  $U(1)$ . Здесь индексы  $m = 1, \dots, 4, I = 1, 2$  есть индексы по  $SU(2)_I$  R-симметрии,  $\alpha, \dot{\alpha}$  - спинорные индексы  $SU(2)_L \times SU(2)_R$ . Для включения  $\Omega$ -фона можно рассмотреть нетривиально расслоение  $\mathbb{R}^4$  над тором  $T^2$  [9],[10] с кривой шестимерной метрикой:

$$ds^2 = 2dzd\bar{z} + (dx^m + \Omega^m d\bar{z} + \bar{\Omega}^m dz)^2, \quad (2.6)$$

где  $(z, \bar{z})$  - комплексные координаты на торе и 4-х мерный вектор  $\Omega^m$  определён как:

$$\Omega^m = \Omega^{mn} x_n, \quad \Omega^{mn} = \frac{1}{2\sqrt{2}} \begin{pmatrix} 0 & i\epsilon_1 & 0 & 0 \\ -i\epsilon_1 & 0 & 0 & 0 \\ 0 & 0 & 0 & -i\epsilon_2 \\ 0 & 0 & i\epsilon_2 & 0 \end{pmatrix}. \quad (2.7)$$

В общем случае, когда  $\Omega^{mn}$  не (анти-)самодуально суперсимметрия нарушена. Однако, можно вставить Вильсоновскую петлю по R-заряду чтобы восстановить часть суперсимметрии [10]:

$$A_J^I = -\frac{1}{2}\Omega_{mn}(\bar{\sigma}^{mn})^I_J d\bar{z} - \frac{1}{2}\bar{\Omega}_{mn}(\bar{\sigma}^{mn})^I_J dz. \quad (2.8)$$

Наиболее компактный способ написать Лагранжиан состоит в введении 'длинных' скаляров (не путать с  $\mathcal{N} = 1$  суперполем):

$$\Phi = \varphi + i\Omega^m D_m, \quad \bar{\Phi} = \bar{\varphi} + i\bar{\Omega}^m D^m, \quad (2.9)$$

Бозонный сектор теории выглядит следующим образом:

$$\begin{aligned} \mathcal{L}_\Omega = & -\frac{1}{4g^2}F_{mn}F^{mn} + \frac{1}{g^2}D_m\Phi D^m\bar{\Phi} + \frac{1}{2g^2}[\Phi, \bar{\Phi}]^2 = \\ & -\frac{1}{4g^2}F_{mn}F^{mn} + \frac{1}{g^2}(\partial_m\phi + F_{mn}\Omega^n)(\partial^m\phi - F^{mn}\Omega^n) + \frac{1}{2g^2}(i\Omega^m\partial_m\bar{\phi} + i\Omega^m\partial_m\phi)^2 \end{aligned} \quad (2.10)$$

Мы можем добавить в эту теории фундаментальный гипермультиплет, который состоит из 2-х скаляров  $q, \tilde{q}$ , 2-х Вейлевских фермионов  $\psi$  и  $\tilde{\psi}$ , и характеризуется 2 масса-ми:  $m$  и  $\tilde{m}$ , поскольку  $\mathcal{N} = 2$  гипермультиплет строится из 2-х  $\mathcal{N} = 1$  гипермультиплетов с противоположными зарядами. При включении материи бозонная часть Лагранжиана выглядит так:

$$\begin{aligned} \mathcal{L}_m = & -\frac{1}{4g^2}F_{mn}F^{mn} + \frac{1}{g^2}(\partial_m\phi + F_{mn}\Omega^n)(\partial^m\phi - F^{mn}\Omega^n) + \\ & \frac{1}{2}|D_m q|^2 + \frac{1}{2}|D_m \tilde{q}|^2 + \frac{2}{g^2}(i\partial_m(\Omega^m\bar{\phi} + \Omega^m\phi) + g^2(\bar{q}q - \tilde{q}\tilde{q}))^2 + \\ & \frac{1}{2}|(\phi - m - i\Omega^m D_m)q|^2 + \frac{1}{2}|(\phi - \tilde{m} - i\Omega^m D_m)\tilde{q}|^2 + 2g^2|\tilde{q}q|^2 \end{aligned} \quad (2.11)$$

Общая  $\Omega$ -деформация сохраняет только одну суперсимметрию[10]. Удобно произвести топологический твист[9] и взять  $SU_L(2)$  и диагональную часть  $SU_R(2) \times SU_I(2)$  за Лоренцеву группу. Тогда  $\Lambda_\alpha^I$  станет скаляром  $\eta$  и самодуальным тензором  $\chi_{IJ}$ ,  $\Lambda_\alpha^I$  станет вектором  $\psi_I$ , и  $\psi, \bar{\psi}$  превратятся в  $\theta, \nu_m, \omega_{mn}$ . Суперзаряды имеют похожую судьбу. Скалярный суперзаряд  $Q$  при этом и есть ненарушенная часть суперсимметрии.

## 2.2 Вырожденный суперполином и числа Каталана

В этом разделе мы дадим обзор известных результатов о связи числе Каталана, суперполиномов и пятимерной суперКЭД. Впервые столь необычная связь была найдена в [11].

Начнём с обзора необходимых нам математических результатов.

В [12] Хайман и Гарсия предложили так называемые  $q, t$ -числа Каталана, которые являются полиномами по  $q, t$  с целыми положительными коэффициентами:

$$C_n(q, t) = \sum_{\lambda: |\lambda|=n} \frac{t^{2\sum l} q^{2\sum a} (1-t)(1-q) \prod^{0,0} (1-q^{a'} t^{l'}) (\sum q^{a'} t^{l'})}{\prod (q^a - t^{l+1}) \prod (t^l - q^{a+1})} \quad (2.12)$$

все суммы и произведения взяты по диаграмме Юнга  $\lambda$ .  $l$  и  $a$  обозначают руку и ногу квадрата в диаграмме, а  $l'$  и  $a'$  обозначают коногу и коруку соответственно.

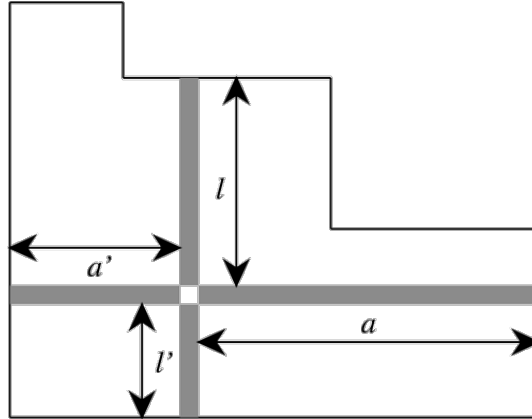


Рис. 1: Определение (ко)рук и (ко)ног

Символ  $\prod^{0,0}$  говорит об отсутствии  $(0, 0)$  бокса. В случае  $q = t = 1$  мы получаем обычное число Каталана:  $C_n(1, 1) = \frac{1}{n+1} \binom{2n}{n}$

В [13] было показано, что данный полином является полиномом Пуанкаре для сингулярной плоской кривой, отвечающей  $(n, n+1)$ -торическому узлу. С другой стороны, известно, что этот полином совпадает с так называемой “нижней колонкой”(bottom row) суперполинома  $\mathcal{P}(A = 0, q, t)$  для того же самого торического узла.

Наконец, Хайманом было доказано, что  $q, t$ -числа Каталана равны эквивариантной Эйлеровой характеристике тавтологического расслоения над Гильбертовой схемой  $n$

точек на  $\mathbb{C}^2$ :

$$C_n(q, t) = \chi^T(\text{Hilb}^n(\mathbb{C}^2), \Lambda^n V) \quad (2.13)$$

где  $q, t$  - эквивариантные параметры для естественного действия тора  $T$  на  $\mathbb{C}^2$ .

Это утверждение будет отправной точкой наших рассуждений, поскольку известно[14], что такая схема Гильберта связана с инстантонными вычислениями для  $n$ -инстантонов. Поскольку вычисления происходят эквивариантно, то необходимо включение Некрасовской  $\Omega$ -деформации.

Сейчас мы покажем, что данная формула может быть получена из статистической суммы  $d = 5, \mathcal{N} = 1$   $U(1)$  калибровочной теории с 2 фундаментальными материями с массами  $m_f, M$  и коэффициентом Черна-Саймонса 2:

$$C_n(q, t) = t^{-n/2} q^{-n/2} \frac{\exp(\beta M)}{\beta^2} \frac{\partial}{\partial m_f} \frac{\partial}{\partial M} Z_n^{U(1)}(m_f, M), \quad m_f = 0, \quad M \rightarrow \infty \quad (2.14)$$

где  $Z_n^{U(1)}$  есть  $n$ -инстантонный вклад в статсумму.

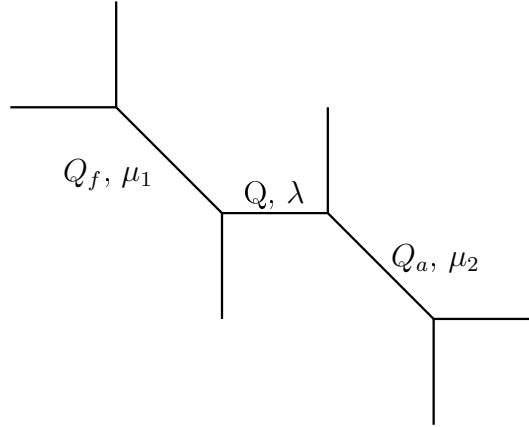


Рис. 2: Геометрия  $\mathcal{O}(-1) \times \mathcal{O}(-1) \rightarrow \mathbb{P}^1$  с двумя раздутыми точками отвечающая пятимерной СКЭД с двумя флейворами и коэффициентом Черна-Саймонса равным 1

Одно из пяти измерений компактифицировано на окружность с радиусом  $\beta$ . Обозначим параметры  $\Omega$ -деформации как  $\epsilon_1$  и  $\epsilon_2$ . Тогда:

$$t = \exp(-\beta\epsilon_1) \quad (2.15)$$

$$q = \exp(-\beta\epsilon_2) \quad (2.16)$$

$$(2.17)$$



Для доказательства необходимого соотношения воспользуемся техникой топологических вертексов[15]. Согласно [16], полная статсумма  $U(1)$  теории с фундаментальным и антифундаментальным мультиплетами и константой связи Ч-С  $k = 1$  равна:<sup>a</sup>

$$Z^{U(1)}(m_f, m_a) = \sum_{\lambda} (-Q)^{|\lambda|} t^{|\lambda|/2} q^{|\lambda|/2} \times \frac{t^{\sum l} q^{\sum a} \prod_{i=1, j=1}^{\infty} (1 - Q_f q^{i-1/2} t^{\lambda_i - j + 1/2}) (1 - Q_a q^{-\lambda_i^t + j - 1/2} t^{1/2 - i})}{\prod (t^l - q^{a+1}) (t^{l+1} - q^a)} \quad (2.18)$$

где Кэлеровы параметры:  $Q_f = \exp(-\beta m_f) / \sqrt{qt}$ ,  $Q_a = \sqrt{qt} \exp(\beta m_a)$ ,  $Q$  определяет константу связи через  $Q = \exp(-\beta/g)$ . Соответствующая торическая диаграмма Калаби-Яу представлена на рис. 2. Пертурбативная часть статсуммы получается если положить  $Q = 0$ :

$$Z^{U(1), pert}(m_f, m_a) = \prod_{i=1, j=1}^{\infty} (1 - Q_f q^{i-1/2} t^{-j+1/2}) (1 - Q_a q^{j-1/2} t^{1/2-i}) \quad (2.19)$$

Тогда вклад  $n$ -инстантонов:

$$Z_n^{U(1)}(m_f, m_a) = \sum_{|\lambda|=n} (-Q)^{|\lambda|} t^{|\lambda|/2} q^{|\lambda|/2} \times \frac{t^{\sum l} q^{\sum a} \prod (1 - \exp(-\beta m_f) t^l q^{a'}) (1 - \exp(\beta m_a) t^{-l} q^{-a'})}{\prod (t^l - q^{a+1}) (t^{l+1} - q^a)} \quad (2.20)$$

Факторы

$$\prod (1 - \exp(-\beta m_f) t^l q^{a'}) \quad (2.21)$$

отвечают вкладу киральной материи.  $U(1)$  калибровочная часть отвечает

$$\sum_{|\lambda|=n} (-Q)^{|\lambda|} t^{|\lambda|/2} q^{|\lambda|/2} \frac{t^{\sum l} q^{\sum a}}{\prod (t^l - q^{a+1}) (t^{l+1} - q^a)} \quad (2.22)$$

Теперь очевидно какие ингредиенты мы должны добавить в теорию:

- Для фактора  $\prod^{0,0} (1 - q^a t^l)$  мы должны взять киральный мультиплет и продифференцировать по его массе, при массе равной нулю.

- Что бы получить  $\sum q^a t^l$  мы должны взять ещё один мультиплет и продифференцировать по его массе, при массе равной бесконечности.

---

<sup>a</sup>в [16] нужно заменить  $t \rightarrow 1/t$

•Наконец, известно, что член Черна-Саймонса с константой связи  $k$  отвечает добавке  $t^k \sum^l q^k \sum^a$  в выражение для статсуммы. Если рассматривать данную пятимерную теорию как компактификацию М-теории на Калаби-Яу,  $k$  есть индекс пересечения 2-циклов[17, 18]. Например, теория с  $k = 0$  и без флейворов даёт геометрию  $\mathcal{O}(0) \times \mathcal{O}(-2) \rightarrow \mathbb{P}^1$  - рисунок 3. Нам необходимо  $k = 2$ .

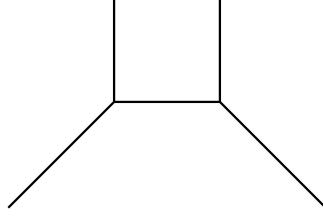


Рис. 3: Геометрия  $\mathcal{O}(0) \times \mathcal{O}(-2) \rightarrow \mathbb{P}^1$  отвечающая пятимерной СКЭД с  $k = 0$  без материи

### 2.3 Суперполином и пятимерная супер-КЭД

В этом разделе мы продолжим развивать связь между суперполиномом и СуперКЭД. Мы расширим соответствие из предыдущего раздела до суперполинома  $(n, nk+1)$  торического узла. В работах [19, 20] была предложена следующая формула для вычисления такого полинома:

$$P(A, q, t)_{nk+1, n} = \sum_{\lambda: |\lambda|=n} \frac{t^{(k+1)\sum^l} q^{(k+1)\sum^a} (1-t)(1-q) \prod^{0,0} (1 + Aq^{-a'} t^{-l'}) \prod^{0,0} (1 - q^{a'} t^{l'}) (\sum q^{a'} t^{l'})}{\prod (q^a - t^{l+1}) \prod (t^l - q^{a+1})} \quad (2.23)$$

При  $A = 0$  и  $k = 1$  она сводится к формуле для  $q, t$ -Каталанов.

Мы покажем, что данная формула может быть получена из статистической суммы  $U(1)$  калибровочной теории с 2 фундаментальными материями с массами  $m_f, M$ , и одной антифундаментальной с массой  $m_a$  и коэффициентом Черна-Саймонса  $k+1$ :

$$P(A, q, t)_{n, nk+1} = t^{-n/2} q^{-n/2} \frac{1}{1+A} \frac{\exp(\beta M)}{\beta^2} \frac{\partial}{\partial m_f} \frac{\partial}{\partial M} Z_n^{U(1)}(m_f, m_a, M), \quad m_f = 0, \quad M \rightarrow \infty \quad (2.24)$$

где  $Z_n^{U(1)}$  есть  $n$ -инстантонный вклад в статсумму.

**NB:** наш выбор переменных в суперполиноме отличается от выбранных в [20] или [19]. Мы проведём отождествление переменных, когда будем обсуждать разные пределы этой формулы.

Как видно, формула очень похожа на формулу для  $q, t$ -Каталана и радикальных изменений делать не нужно. Чтобы получить суперполином нам необходимо добавить:

- Антифундаментальный мультиплет, отвечающий фактору  $\prod^{0,0}(1 + Aq^{-a'}t^{-l'})$  - поскольку именно от соответствует вкладу антифундаментальной материи[16]. А при этом определяется через массу антифундаментала  $m_a$  как

$$A = -\sqrt{qt} \exp(\beta m_a) \quad (2.25)$$

- Взять константу связи Черна-Саймонса равной  $k + 1$ .

Также в математической литературе известны старшие  $q, t$ -Каталаны, предложенные Хайманом[21]:

$$C_n^k(q, t) = \sum_{\lambda: |\lambda|=n} \frac{t^{(k+1)\sum l} q^{(k+1)\sum a} (1-t)(1-q) \prod^{0,0}(1 - q^{a'}t^{l'}) (\sum q^{a'}t^{l'})}{\prod(q^a - t^{l+1}) \prod(t^l - q^{a+1})} \quad (2.26)$$

Очевидно, что они соответствуют выключению антифундаментала  $A = 0$ , а индекс  $k$  соответствует уровню Черна-Саймонса в пятимерной теории.

Напомним, что  $n$ -инстантонные вклады возникают из M2 бран намотанных на  $\mathbb{P}_{base}^1$   $n$  раз. А  $k$  равно индексу пересечения базовой сферы и сферы слоя. Поэтому сдвиг  $1 \rightarrow kn + 1$  от члена Черна-Саймонса является аналогом эффекта Виттена , поскольку инстантон наматывается дополнительные  $kn$  раз на второй цикл и приобретает дополнительный заряд.

Вместо рассмотрения отдельного вклада, мы можем рассмотреть всю статсумму:

$$Z^{Nek}(m, \epsilon_1, \epsilon_2, \beta, Q) = \sum_n (-Q)^n Z_n(m, \epsilon_1, \epsilon_2, \beta) \quad (2.27)$$

Нетривиальным наблюдением является тот факт, что статсумма при  $k = 1$  удовлетворяет разностному уравнению, которое мы сейчас напишем. В пределе Некрасова-Шаташвили  $\epsilon_2 = 0 \rightarrow t = 1$  суммирование  $q$ -чисел Каталана может быть проведено явно:[22]:

$$P(q, Q) = \frac{\exp(\beta M)}{\beta^2} \frac{\partial}{\partial m_f} \frac{\partial}{\partial M} Z^{Nek}(m_f, M, q, Q/\sqrt{q}), \quad m_f = 0, \quad M \rightarrow \infty = \frac{A_q(Qq^2)}{A_q(Qq)} \quad (2.28)$$

где  $A_q(s)$ - есть функция q-Айри:

$$A_q(s) = \sum_k \frac{s^k q^{k^2}}{(q; q)_k} \quad (2.29)$$

В определении использован символ Похаммера  $(z; q)_k = \prod_{l=0}^{k-1} (1 - zq^l)$ . Это означает, что производящая функция для полиномов  $(n, n + 1)$  торических узлов удовлетворяет следующему уравнению:

$$P(q, Q) = 1 - QP(q, Q)P(q, qQ) \quad (2.30)$$

К сожалению, нам неизвестно теоретико-полевое объяснение этого уравнения.

## 2.4 Вырождения в полиномы ХОМФЛИ, Александера, Джонса

Что бы сравнить суперполином с другими инвариантами узлов, перепишем формулы из предыдущего раздела в других переменных. Удобно ввести следующие переменные:

$$\frac{1}{\tilde{q}^2 \tilde{t}^2} = q = \exp(-\beta \epsilon_1) \quad (2.31)$$

$$\tilde{q}^2 = t = \exp(-\beta \epsilon_2) \quad (2.32)$$

$$\tilde{a}^2 \tilde{t} = A = -\exp(\beta m_a) \quad (2.33)$$

И обратно:

$$\tilde{t} = -\frac{1}{\sqrt{qt}} = -\exp(\beta(\epsilon_1 + \epsilon_2)/2) \quad (2.34)$$

$$\tilde{q} = \sqrt{t} = \exp(-\beta \epsilon_2/2) \quad (2.35)$$

$$\tilde{a} = \sqrt{-\sqrt{tq}A} = \exp(\beta \frac{2m_a - \epsilon_1 - \epsilon_2}{4}) \quad (2.36)$$

- $\tilde{t} = -1$ : Суперполином редуцируется к ХОМФЛИ. С точки зрения теории поля мы имеем  $\epsilon_1 + \epsilon_2 = 0$  - самодуальная  $\Omega$ -деформация и, соответственно, нерафинированная струна.
- $\tilde{t} = -1, \tilde{a} = \tilde{q}^N$  - мы получаем полином Джонса в фундаментальном представлении  $SU(N)$ . При этом соотношение второе соотношение переписывается как  $m_a = N\epsilon_1$ . Это очень напоминает квантование Некрасова-Шаташвили, однако это не буквально оно, т.к.  $\epsilon_2 \neq 0$ . К сожалению, о квантовых интегрируемых системах при

$\epsilon_2 \neq 0$  почти ничего не известно.

- $\tilde{a} = 1, \tilde{t} = -1$ : Мы получаем полином Александера. При этом это отвечает безмассовому антифундаменталу.

### 3 Киральное кольцо и Лагранжева брана

В предыдущем разделе мы стартовали с трёх мультиплетов материи, однако, на самом деле нам нужно только два, поскольку одна из материй имеет бесконечную массу. Сейчас мы покажем, что единственным эффектом этого мультиплета является вставка оператора  $O = \int d^5x \exp(-\beta\Phi)$ , где  $\Phi$  - продеформированный скаляр векторного мультиплета. Чуть ниже мы объясним что это за деформация и зачем она нужна.

$$\lim_{m_2 \rightarrow \infty} \frac{\exp(\beta m_2)}{\beta} \frac{\partial}{\partial m_2} Z^{U(1)}(m_1, m_2, m_3) = \langle O \rangle_{m_1, m_3}^{U(1)} \quad (3.37)$$

Для начала рассмотрим теорию без Омега-деформации. Если мы отинтегрируем массивный гипермультиплет, то заработаем потенциал Коулмена-Вайнберга:

$$(\phi + m_2)^2 \left( \log \left( \frac{\phi + m_2}{\Lambda_{UV}} \right) - 1 \right) = \int_0^\infty \frac{dt}{t^3} \exp(-t(\phi + m_2)) \quad (3.38)$$

Что бы поднять это выражение в пять измерений[23], мы должны взять сумму по Калуза-Кляйновским модам, т.е. добавить  $\frac{2\pi i n}{R}$  к  $\phi + m_2$  и взять сумму по  $n$ :

$$\text{Li}_3 \left( e^{-2\pi R(\phi + m_2)} \right) \quad (3.39)$$

Для больших  $m_2$  это просто  $\exp(-2\pi R(\phi + m_2))$ . Итак, этим однопетлевым вычислением мы получили ур. (3.37) с оператором  $O = \int d^5x \exp(-\beta\phi(x))$ .

При включении общей Омега-деформации мы остаёмся с одной суперсимметрией, при этом скаляр векторного мультиплета не замкнут относительно её:

$$Q_\Omega \phi = \sqrt{2} \Omega^n \psi_n \quad (3.40)$$

Поэтому операторы кирального кольца необходимо продеформировать. Соответствующая деформация  $\phi$  была построена в [24] и было показано, как считать вакуумные средние таких операторов. Для этого необходимо ввести функцию профиля для диа-

граммы Юнга  $\lambda$ :

$$f_{\lambda, \epsilon_1, \epsilon_2}(x) = |x| + \sum_{i=1} (|x + \epsilon_1 - \epsilon_2 \lambda_i - \epsilon_1 i| - |x - \epsilon_2 \lambda_i - \epsilon_1 i| - |x + \epsilon_1 - \epsilon_1 i| + |x - \epsilon_1 i|) \quad (3.41)$$

Тогда вклад  $\Phi^n$  в статсумму для конкретной диаграммы Юнга дается формулой:

$$\frac{1}{2} \int_{-\infty}^{+\infty} dx x^n f''_{\lambda, \epsilon_1, \epsilon_2}(x) \quad (3.42)$$

Сейчас мы покажем, что  $\exp(-\beta\phi)$  с деформированным  $\phi$  является продуктом тяжёлого флейвора в Омега-деформированной теории тоже.

Рассмотрим член  $(-1)(1-t)(1-q) \sum q^{a'} t^{l'}$  в выражении для суперполинома. Если  $\lambda_i$  - длина  $i$ -строки, то мы можем переписать это выражение как:

$$(1-t) \sum_{i=1} (q^{\lambda_i} t^{i-1} - t^{i-1}) = \sum_{i=1} (q^{\lambda_i} t^{i-1} - t^{i-1} - q^{\lambda_i} t^i + t^i) \quad (3.43)$$

Где сумма берётся по строкам диаграммы Юнга  $\lambda$ . Но это выражении в точности получится, если мы вычислим вакуумное среднее  $\exp(-\beta\phi)$  по формуле 3.42.

Естественно предположить, что разные операторы кирального кольца будут отвечать разным узлам. В следующем разделе мы покажем, что это действительно так. Для этого нам понадобится производящая функция  $Y(z)$  для операторов кирального кольца[25]:

$$Y(z) = \exp \left( \sum_{n=1} \frac{z^{-n}}{n} \mathcal{O}_n \right) \quad (3.44)$$

где

$$\mathcal{O}_n = \langle \exp(-n\beta\Phi) \rangle \quad (3.45)$$

В терминах инстантонного разложения  $Y(z)$  равна[25]:

$$Y(z) = \frac{1}{1-z} \frac{\prod_{\square \in \partial_+ \lambda} (z - q^{a'} t^{l'})}{\prod_{\square \in \partial_- \lambda} (z - qtq^{a'} t^{l'})} \quad (3.46)$$

В калибровочных теориях, помимо Вильсоновских петель, которые являются одномерными дефектами, также существуют многомерные дефекты, называемые поверхностными операторами[26, 29, 30]. С точки зрения М-теории они могут быть реализованы как М5 брана намотанная на Лагранжев 3-цикл в Калаби-Яу. В дальнейшем мы будем называть такие дефекты просто Лагранжевыми бранами. Также как и Виль-

соновские петли, они имеют внутренние степени свободы, но при этом их натяжение бесконечно. Техника топологических вертексов позволяет вычислять статсуммы в присутствии таких объектов.

Легко показать, что одна Лагранжева брана на внешней ноге отвечает вкладу

$$M(z) = \prod_{j=1}^{l(\lambda)} \frac{1 - zt^{j-1}q^{\lambda_j}}{1 - zt^{j-1}} \quad (3.47)$$

в статсумму  $U(1)$  калибровочной теории.

Также, в зависимости от фрейминга мы получим или  $M(z)$  - для браны, или  $1/M(z)$  - для антибраны.

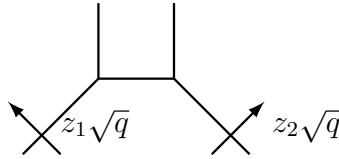


Рис. 4:  $U(1)$  теория с двумя Лагранжевыми бранами на внешних линиях

В действительности, функции  $Y(z)$  и  $M(z)$  не независимы - они удовлетворяют очень простому соотношению:

$$Y(z) = \frac{M(1/z)}{M(1/zt)} \quad (3.48)$$

Доказательство состоит в простом сравнении какие боксы диаграммы Юнга дают вклад в правую и левую части.

Для получения отношения двух  $M$ , мы можем рассмотреть 2 Лагранжевы браны (рис. 4) - при этом для второй нужно выбрать фрейминг  $+1$ , а для первой -  $0$ . Их вклад в статсумму:

$$\frac{M(z_1)}{M(z_2)} \quad (3.49)$$

При  $z_2 = z_1 t = zt$  мы получаем  $Y(1/z)$ .

Поскольку  $Y(z)$  - производящая функция операторов кирального кольца, мы можем заключить, что они операторы могут быть вставлены в теорию как система брана-антибрана размера  $\epsilon_2$ . По сути, это означает, что мы можем интегрировать степени

свободы живущие на бране, и получить некоторый киральный оператор в объемлющей теории.

В действительности, мы можем обратить (3.48):

$$M(z) = \prod_{i=0}^{\infty} \frac{Y(z^{-1}t^{-i})}{(z^{-1}t^{-i} - 1)^N} \quad (3.50)$$

Или в терминах вакуумных средних:

$$M(z) = \exp \left( \sum_{n=1}^{\infty} \frac{z^n t^n \mathcal{O}_n}{n(t^n - 1)} \right) \quad (3.51)$$

## 4 Поверхностный оператор и торические узлы

В предыдущем разделе мы показали, что на уровне статсуммы вставка Лагранжевой браны отвечает вставке производящей функции для операторов кирального кольца  $M(z)$ . При этом оператор  $\exp(-\beta\phi)$  соответствует линейному члену по  $z$ -т.е. одному инстантону на бране. Интересно посмотреть, что дадут следующие члены разложения.

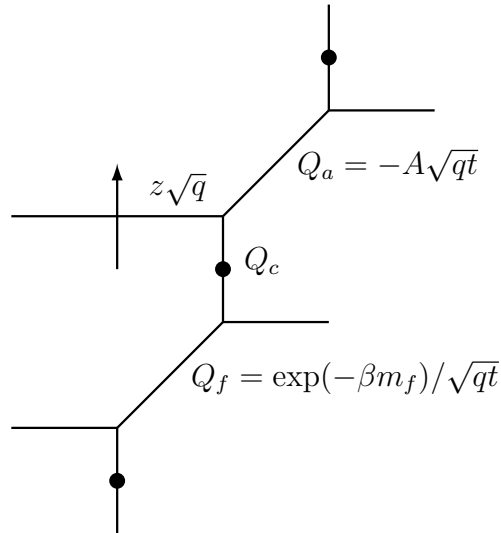


Рис. 5:  $U(1)$  теория с Лагранжевой браной при  $k = 0$ . Точка обозначает выделенное направление в топологическом вертексе.

Также, как и в предыдущих разделах, мы будем интересоваться конденсатом без-



массового флейвора:

$$\langle \tilde{\psi} \psi \rangle_{LB} = \frac{\partial Z}{\partial m} \Big|_{m=0} = \sum_{n,r} Q_c^n z^r P_{n,nk+r}(A, q, t) \quad (4.52)$$

$$P(A, q, t)_{n,nk+r} = \sum_{\lambda: |\lambda|=n} \frac{t^{(k+1)\sum l} q^{(k+1)\sum a} (1-t) \prod^{0,0} (1 - Aq^{-a'} t^{-l'}) \prod^{0,0} (1 - q^{a'} t^{l'})}{\prod (q^a - t^{l+1}) \prod (t^l - q^{a+1})} \times \text{Coef}_{z^r} M(z) \quad (4.53)$$

Где  $M(z)$  есть вклад Лагранжевой браны:

$$M(z) = \prod_{j=1}^{l(\lambda)} \frac{1 - zt^{j-1}q^{\lambda_j}}{1 - zt^{j-1}} \quad (4.54)$$

Это выражение обладает выдающимися свойствами:

- При  $r = 1$  мы восстанавливаем формулу для суперполинома  $(n, nk+1)$  торического узла.
- Это выражение даёт полином по  $A, q, t$  с целыми положительными коэффициентами, если  $\gcd(n, nk+r) = 1$ . К сожалению, мы не можем строго доказать это утверждение. Наш вывод основан на явном вычислении этого выражения для большого количества разных  $n$  и  $r$ .
- При  $k = 0$ ,  $P_{n,r} = P_{r,n}$ .
- При  $t = 1/q$  это выражение воспроизводит правильный полином ХОМФЛИ для  $(n, nk+r)$  торического узла. Мы докажем этот факт в разделе В
- Однако, в общем случае, это выражение не даёт правильного суперполинома

Заметим, что мы могли положить Лагранжеву брану на линию между  $Q_c$  и  $Q_f$ . В этом случае мы бы получили  $\tilde{M}(z)$  вместо  $M(z)$ :

$$\tilde{M}(z) = \prod_{i=1}^{l(\lambda^t)} \frac{1 - zq^{i-1}t^{\lambda_i^t}}{1 - zq^{i-1}} \quad (4.55)$$

Легко проверить, что это также приводит к полиному ХОМФЛИ, но в другой нормализации. В дальнейшем нам иногда будет удобно расположить брану именно так.

В действительности, явная формула для суперполинома торического  $(n, r)$  узла известна в математической литературе[31]:

$$P^{(n,r)} = \sum_{|\lambda|=n} \frac{q^{2\sum a} t^{2\sum l} \prod^{0,0} (1 + Aq^{-a'} t^{-l'}) (1 - q^{a'} t^{l'})}{\prod (q^{a+1} - t^l) (t^{l+1} - q^a)} \times \quad (4.56)$$

$$\sum_{\text{of shape } \lambda}^{SYT} \frac{\prod_{i=1}^n \chi_i^{S_{r/n}(i)} (1 - qt\chi_i)}{\prod_{i=1}^{n-1} (1 - \chi_i) (1 - qt\frac{\chi_2}{\chi_1}) \dots (1 - qt\frac{\chi_n}{\chi_{n-1}})} \prod_{1 \leq i < j \leq n} \frac{(\chi_j - q\chi_i)(\chi_j - t\chi_i)}{(\chi_j - \chi_i)(\chi_j - qt\chi_i)}$$

где

$$S_{r/n}(i) = \lfloor \frac{ir}{n} \rfloor - \lfloor \frac{(i-1)r}{n} \rfloor \quad (4.57)$$

Второй фактор отвечает суммированию по стандартным таблицам Юнга формы  $\lambda$ : таблица Юнга - это диаграмма Юнга, где в каждый квадрат вписано число от 1 до  $n$  таким образом, что при движении либо вправо, либо вверх числа строго уменьшаются. Т.е. для каждого числа  $i$  есть квадрат  $\square_i$  и  $\chi_i$  равно  $q^{a'} t^{l'}$ .

Мы видим, что этот вклад отвечает очень сложному дефекту. К сожалению, мы ничего не можем сказать про этот дефект, кроме того, что в самодуальном  $\Omega$ -фоне он вырождается в Лагранжеву брану.

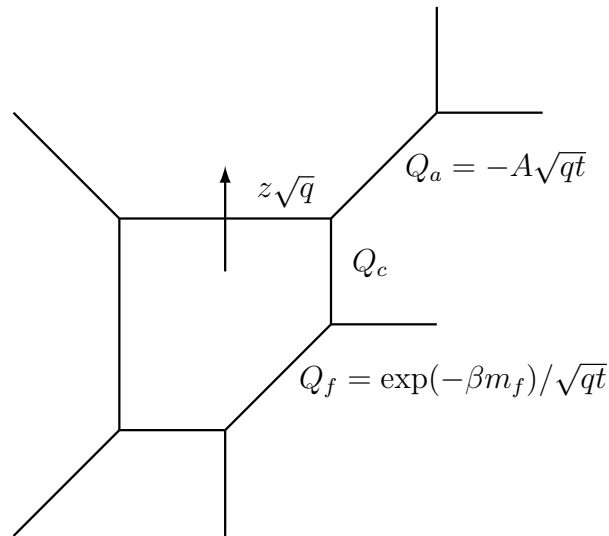


Рис. 6:  $SU(2)$  теория с Лагранжевой браной и  $N_f = 2$

Поскольку Лагранжева брана расположена на внешней ноге, на эту геометрию мож-

но смотреть как на пертурбативный перед из теории с группой  $SU(2)$  и Лагранжевой браной расположенной на внутренней ноге - рис. 6. На языке ПВ теории струн это есть D3 брана перпендикулярная всем пятибранам. В следующем разделе мы покажем, как можно поднять это соответствие до полной  $SU(2)$  теории.

#### 4.1 Узлы как голоморфные инстантоны

В этом разделе мы выдвинем гипотезу, как наша картина с полиномами ХОМФЛИ связана с классическим подходом через Вильсоновские петли в теории Черна-Саймонса [3]. Рассмотрим подробнее многообразие Калаби-Яу на которое мы компактифицировались, чтобы получить калибровочную теорию. Известно[32], что в нерафинированном случае  $\epsilon_1 = -\epsilon_2 = \epsilon$  статсумма, которую мы считаем, совпадает со статсуммой топологических струн типа А, где таргет-пространство и есть наше Калаби-Яу. При этом струнная константа связи  $g_s$  связана с  $\Omega$ -фоном следующим образом:

$$g_s = \beta\epsilon \tag{4.58}$$

Теперь воспользуемся так называемым геометрически переходом[33]: мы можем заменить кусок геометрии  $\mathcal{O}(-1) \times \mathcal{O}(-1) \rightarrow \mathbb{P}^1$  отвечающей антифундаменталу на геометрию  $T^*S^3$  с  $N \gg 1$  топологическими бранами, намотанными на  $S^3$  - рис. 7. Ранее мы уже упоминали, что Лагранжеву брану можно перенести на внешнюю ногу между  $Q_c$  и  $Q_f$ , сейчас для наших рассуждений это удобно сделать.

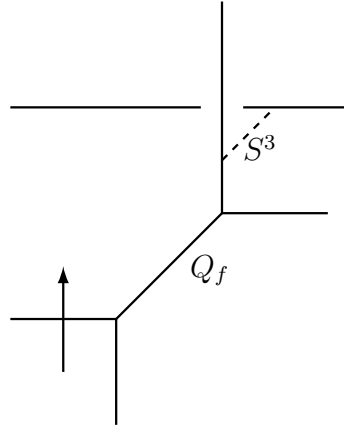


Рис. 7: Геометрия после геометрического перехода в  $\mathbb{P}^1$  отвечающему антифундаменталу.

При этом число  $N$  топологических бран связано с массой антифундамента как

$$Ng_s = \beta m_a \quad (4.59)$$

Поэтому с точки зрения геометрического перехода мы должны считать, что

$$A = q^N \quad (4.60)$$

При этом теория Черна-Саймонса возникает как теория на Лагранжевых бранах при рассмотрении открытых топологических струн типа А на этой геометрии. Мы имеем 2 набора бран: одну Лагранжеву брану отвечающую поверхностному оператору и стопку бран отвечающих геометрическому переходу, поэтому мы будем иметь 2 теории Черна-Саймонса. Уровень  $\kappa$  теории, живущей на стопке  $N$  бран равен

$$\frac{2\pi}{\kappa + N} = g_s \quad (4.61)$$

А калибровочная группа есть  $SU(N)$

Статсумма теории типа А локализуется на голоморфные инстантоны, которые натягиваются на 2-циклы между Лагранжевыми бранами, а на самих бранах кончаются замкнутыми линиями, которые есть ничто иное, как Вильсоновские петли. С точки зрения теорий Черна-Саймонса статсумма равна следующему коррелятору:

$$Z_{inst} = \left\langle \exp \left( \sum_{\beta, s, R_1, R_2} \sum_{p=1}^{\infty} \mathcal{N}_{s, R_1, R_2}^{\beta} \frac{q^{ps}}{p(1-q^p)} Q_{\beta}^p Tr_{R_1} U^p Tr_{R_2} V^p \right) \right\rangle_{CS_1, CS_2} \quad (4.62)$$

где  $U$  и  $V$  - голономии в представлениях  $R_1$  и  $R_2$  на двух наборах бран и  $Q_{\beta}$  есть Кэлеров параметр 2-цикла  $\beta$ .  $\mathcal{N}_{s, R_1, R_2}^{\beta}$  есть целые коэффициенты, которые вычисляют вырожденность БПС состояния со спином  $s$ , которое преобразуется по представлениям  $R_1$  и  $R_2$  относительно групп  $U(N_i)$  на бранах.  $p$  есть сумма по кратным намоткам. Рассмотрим инстантон до геометрического перехода, который наматывается  $n$  раз на  $Q_c$  и  $r$  раз на одну Лагранжеву брану. Поскольку  $n$  и  $r$  взаимно просты, нас будет интересовать только единичная намотка  $p = 1$ . В разделе 5.1 мы покажем, что он натягивается на  $(n, r)$  цикл на торе, который есть часть слоя торического Калаби-Яу. После геометрического перехода, возникающая  $S^3$  есть расслоение ровно этого  $T^2$  над отрезком. Поэтому граница этого инстантона наматывается  $(n, r)$  торическим узлом на стопку  $N$  бран. Поэтому голономия  $U$  берётся вдоль торического узла. При этом заметим, что ранг калибровочной группы правильно связан с переменной  $A$  в полиноме

ХОМФЛИ - ур. (4.60).

Теперь если мы возьмём производную по фундаментальной массе и рассмотрим предел  $m_f \rightarrow 0$ , то при интересующем нас члене  $z^r Q_c^n$  мы получим:

$$\frac{1}{1-q} \sum_{k,s,R_1,R_2}^{\infty} k \mathcal{N}_{s,R_1,R_2}^{r,n,k} q^s \langle Tr_{R_1} U \rangle \langle Tr_{R_2} V \rangle \quad (4.63)$$

Экспонента исчезла, т.к. статсумма равна 1 при  $m_f = 0$ . Суммирование по  $k$  отвечает намоткам на 2-цикл фундаментального мультиплета.

Это форма объясняет, откуда берётся узел и почему переменные в ХОМФЛИ именно такие. Однако непонятно, почему мы получаем только фундаментальное представление. Для этого нужно подробно знать структуру чисел вырождения  $\mathcal{N}_{s,R_1,R_2}^{\beta}$ .

## 4.2 Стабильный предел

Рассмотрим предел большой константы Черна-Саймонса  $k \rightarrow \infty$ . В этом режиме инстантоны вымирают и вклады 2-х материй факторизуются.

С другой стороны, в [34] была выдвинута гипотеза, что в так называемом стабильном пределе  $n \rightarrow \infty$ , суперполином  $\mathcal{P}_{n,r}$  превращается в суперполином для незаузленной  $S^1$ , покрашенной в симметрическое представление  $[r]$ :

$$\lim_{n \rightarrow \infty} \mathcal{P}_{n,r} = \mathcal{P}_{unknot}^{[r]} \quad (4.64)$$

Сейчас мы продемонстрируем, что в нашей картине возникает аналог этого соотношения. Действительно, предполагая  $q, t < 1$ , легко видеть, что только  $\lambda = \emptyset$  даёт ненулевой вклад в (4.53). Фундаментальный гипермультиплет даёт простой пертурбативный фактор:

$$N_f = \prod_{i=1, j=1}^{\infty} (1 - \exp(-\beta m_f) q^{i-1} t^{-j}) \quad (4.65)$$

который мы отбросим. Рассмотрим более подробно вклад Лагранжевой браны и антифундаментального мультиплета - Рис. 8. Как и раньше, мы сконцентрируемся на инстантонном вкладе в статсумму. Однако в данном случае мы будем нормироваться на  $Z(z=0)$ .

Данная геометрия - ничто иное, как классическая геометрия Оогури-Вафы[4], которая считает в нерафинированном случае раскрашенные ХОМФЛИ для незаузленной  $S^1$ : статсумма

$$Z^{unrefined} = \sum_m H_r(A, q) z^r \quad (4.66)$$

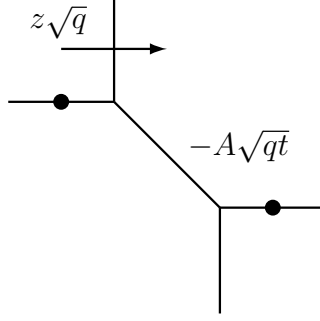


Рис. 8: Стабильный предел. Точка обозначает выделенное направление.

есть сумма полиномов ХОМФЛИ  $H_r(A, q)$  для незаузленной  $S^1$ , покрашенной в симметрическое представление  $[r]$  - поскольку мы имеем только одну Лагранжеву брану, мы получаем только симметрические представления.

В рафинированном случае ситуация немного более тонкая, т.к. в общем случае ответ зависит от выбранного направления[35]. Более того, есть определённые трудности с определением суперполинома не в фундаментальном представлении - см. обсуждение в [19]. Однако, если мы аккуратно проследим вклад Лагранжевой браны, наш выбор выделенного направления на самом деле приводит к суперполиному в полностью *антисимметричном* представлении  $1^m$ <sup>b</sup>:

$$Z^{refined} = \prod_{i=1}^{\infty} \frac{1 - zt^{i-1}}{1 + Az\sqrt{qt}^{i-1/2}} \quad (4.67)$$

Поэтому мы можем написать аналог ур.(4.64):

$$\lim_{k \rightarrow \infty} \frac{Z(A, q, t, z, Q)}{Z(A, q, t, z = 0, Q)} = \sum_r z^r P_{unknot}^{1^r}(A, q, t) \quad (4.68)$$

## 5 Инварианты узлов и $SU(2)$ теория

### 5.1 От Лагранжевой браны к $SU(2)$ теории с 4 флейворами

Согласно гипотезе АГТ [36] и её пятимерному обобщению [37, 38, 39, 40], пертурбативная часть Некрасовской  $SU(2)$  статсуммы равна 3-х точечной корреляционной функции в теории Лиувилля. В пятимерном случае речь идёт о  $q$ -деформированном Лиувилле.

<sup>b</sup>Противоречия нет: в случае ХОМФЛИ нет разницы между полностью симметричным и полностью антисимметричным представлениями. Также, для полностью антисимметричных представлений ответ не зависит от выделенного направления[35]

При этом инстантонная статсумма соответствует 4-х точечному коррелятору. Конформные веса при этом определяются фундаментальными массами в калибровочной теории. Более того, вставка поверхностного оператора соответствует вставке оператора  $V_{2,1}$ , вырожденного на уровне 2, в коррелятор конформной теории. Из этого мы можем заключить, что пертурбативная статсумма с поверхностным оператором должна быть равна инстантонной статсумме, но с очень специальным выбором масс. Действительно, такое соответствие впервые было показано в [41] с помощью двух простых преобразований над диаграммой топологических вертексов. Приведём эти результаты:

Первое преобразование есть открыто-замкнутая дуальность: мы можем заменить Лагранжеву брану разрешённым конифолдом - Рис. 9.

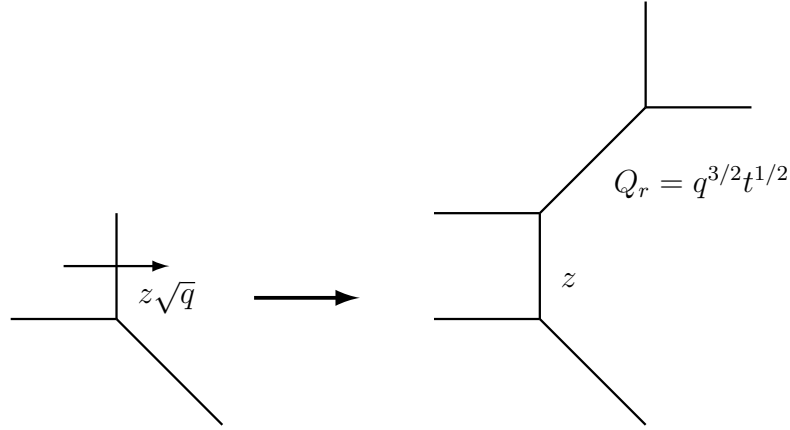


Рис. 9: Открыто-замкнутая дуальность

В действительности, если мы рассмотрим произвольный Кэлеров параметр разрешения  $Q_r$ , мы получим следующий вклад в статсумму (вторая дробь является нормировкой на пертурбативный вклад):

$$\prod_{i=1}^{l(\lambda)} \prod_{j=1}^{+\infty} \frac{(1 - zQ_r t^{i-3/2} q^{\lambda_i - j - 1/2})}{(1 - zt^{i-1} q^{\lambda_i - j})} \frac{(1 - zt^{i-1} q^{-j})}{(1 - zQ_r t^{i-3/2} q^{-j-1/2})} \quad (5.69)$$

Если мы возьмём  $Q_r = q^{3/2}t^{1/2}$ , то получим в точности  $M(z)$ .

Следующее преобразование есть проекция на тривиальные представления: предположим мы имеем диаграмму где две внешние линии пересекаются. Тогда мы можем добавить дополнительный разрешённый конифолд со специальным Кэлеровым параметром, который спроецирует представления на этих 2х линиях на тривиальные - рис.

10

Резюмируя, мы можем получить наш “почти суперполином” просто из инстантонной

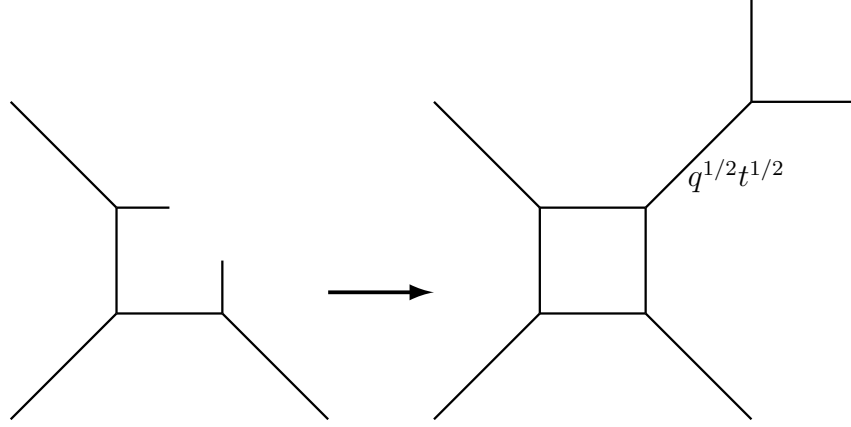


Рис. 10: Проектор на тривиальные представления

$SU(2)$  статсуммы с 4 материями. При этом инстантонное число  $n$  — есть число D1 струн протянутых между пятибранами, а  $r$  — есть число F1 струн — т.е. электрический заряд. Теория струн типа IIB реализуется как M-теория, компактифицированная на тор  $T^2$ . D1 и F1 струны приходят из M2 браны, намотанной на разные циклы этого тора. Поэтому композитный объект с зарядами  $(n, r)$  есть M2 брана, намотанная на  $(n, r)$  цикл этого тора.

## 5.2 Редукция в 4D

В этом разделе мы исследуем редукцию  $SU(2)$  в более привычную четырёхмерную теорию. В  $D = 5$  мы имеем W-бозоны и инстантоны которые распространяются в петле. С точки зрения компактификации M-теории на Калаби-Яу, оба они отвечают M2 бране, но намотанной на разные циклы. Как было показано в [23] однопетлевое вычисление в  $D = 5$  отвечает инстантонному разложению в  $D = 4$ . Двойная сумма по электрическим и инстантонным зарядам в  $D = 5$  вырождается в сумму только по инстантонным зарядам в  $D = 4$ . Поскольку полином ХОМФЛИ “меряет” вырождение состояний с заданными зарядами  $(n_I, n_e)$ , редукция в четырёхмерие означает пересуммирование ХОМФЛИ по одной из намоток. Сформулируем это более явно. При переходе в 4 измерения, мы рассматриваем предел  $\beta \rightarrow 0$  и  $g \rightarrow 0$ , при этом держа некоторые параметры постоянными:

$$\frac{\beta}{g^2} = \frac{1}{g_{4D}^2} = \text{const} \quad (5.70)$$

$$a, m_a, \epsilon = \text{const} \quad (5.71)$$



Первое условие отражает тот факт, что инстантоны распространяющиеся вдоль компактного измерения превращаются в более привычные точечные инстантоны в 4D. Чтобы получить  $n$ -инстантонный вклад  $c_n$  в конденсат:

$$\langle \tilde{\psi}\psi \rangle_{4D} = \sum_n e^{-n/g_{4D}^2} c_n(\epsilon, m, a) \quad (5.72)$$

необходимо провести суммирование по всем электрическим зарядам:

$$c_n(a, m_a, \epsilon) = \lim_{\beta \rightarrow 0} \sum_{r=0}^{\infty} e^{-ra\beta} H_{n,r}(q, A) \quad (5.73)$$

Когда мы устремляем  $\beta \rightarrow \infty$ , члены с большими  $r$  становятся более и более существенными. В конечном итоге, сумма превращается в подобие преобразования Лапласа. Однако, это не буквально преобразование Лапласа, поскольку  $q = \exp(-\beta\epsilon)$  и  $A = -\exp(\beta m_a)$  зависят от  $\beta$  и стремятся к 1 и  $-1$  соответственно. Из-за этого мы теряем информацию о конечных степенях  $q$  и  $A$ . Мы можем заключить, что предел в  $D = 4$  необратим. Тем не менее, естественно задать вопрос: что осталось от инварианта узла?

Ответ прост: из уравнения (5.73) мы видим, что поведение ХОМФЛИ при больших  $r$  перерабатывается в аналитическую структуру по переменной  $a$   $4D$  инстантонного вклада  $c_n$ . Каждый полюс  $-\alpha\epsilon$  отвечает члену  $q^{\alpha r}$  в полиноме ХОМФЛИ  $H_{n,r}$ .

Пример: рассмотрим 2 инстантона.  $H_{2,r}$  для  $r > 0$  равны:

$$H_{2,r} = \frac{q(A + q - q^{-r}(Aq + 1))}{q^2 - 1} \quad (5.74)$$

С другой стороны, беря четырёхмерный предел:

$$\frac{m_a + \epsilon}{2\epsilon a} + \frac{m_a - \epsilon}{2\epsilon(\epsilon - a)} \quad (5.75)$$

Два полюса в 0 и  $\epsilon$  отражают члены  $q^0$  и  $q^{-r}$  соответственно.

Мы видели, что четырёхмерный предел чувствителен только к поведению ХОМФЛИ  $H_{n,r}$  при больших  $r$ . Это означает, что вторая намотка торического узла становится большой и “конденсируется”. Это “математическое конденсирование” отражает физическую конденсацию: в четырёхмерном пространстве пятая компонента векторного поля  $A_5$  присоединяется к Хиггсовскому скаляру и конденсируется.

## 6 Дробный Черн-Саймонс

В этом разделе мы кратко изложим любопытное наблюдение, состоящее в том, что полиномы ХОМФЛИ также можно получать рассматривая пятимерную СуперКЭД в дробной константой связи Черн-Саймонса. Подчеркнём, что данный подход отличается от изложенных выше и уровень Черн-Саймонса будет по-другому связываться с типом узла. Было бы интересно отследить на физическом уровне, как для определённой инстантонной конфигурации, поверхностный оператор эффективно меняет константу связи Черн-Саймонса. Напомним, что формула Джонса-Россо для полинома ХОМФЛИ в фундаментальном представлении для торического узла  $(n, r)$  может быть записана следующим образом (см. приложение А):

$$H_{\square}^{(n,r)}(A, q) = (-1)^{n-1} \frac{1 - q^n}{q^n} \sum_{|\lambda|=n} q^{\binom{r}{n} + \sum(l-a)} \frac{\prod^{0,0}(1 - q^{l'-a'}) \prod^{0,0}(1 + Aq^{a'-l'})}{\prod(q^{-l-1} - q^a)(q^{-l} - q^{a+1})} \quad (6.76)$$

Данная формула, по-сути, совпадает с  $n$ -инстантонным вкладом в статсумму пятимерной  $\mathcal{N} = 1$  СКЭД  $\mathbb{R}_{\Omega}^4 \times S_{\beta}^1$  в самодуальном  $\Omega$ -фоне  $\epsilon_1 = -\epsilon_2$  с антифундаментальной материей массы  $m_a$ , фундаментальной материей с массой  $m_f$  и дробным уровнем Черн-Саймонса  $r/n$ :

$$\left. \frac{\partial \tilde{Z}_n^{inst}}{\partial m_f} \right|_{m_f=0} = (1 + A)\beta \sum_{|\lambda|=n} q^{\binom{r}{n} + \sum(l-a)} \frac{\prod^{0,0}(1 - q^{l'-a'}) \prod^{0,0}(1 + Aq^{a'-l'})}{\prod(q^{-l-1} - q^a)(q^{-l} - q^{a+1})} \quad (6.77)$$

где

$$q = \exp(-\beta\epsilon_2), \quad A = -\exp(\beta m_a) \quad (6.78)$$

Мы будем обозначать статсумму данной теории как  $\tilde{Z}$ . Для незаузленной  $S^1(n, 1)$  эта формула даёт следующий результат:

$$H_{\square}^{(n,1)} = \frac{1}{(1 - q)q^{(n-1)/2}} \quad (6.79)$$

Напомним, что формула для суперполинома  $(n, nk + 1)$  торического узла в фундаментальном представлении выглядит следующим образом:

$$P(A, q, t)_{nk+1, n} = \quad (6.80)$$

$$\sum_{\lambda: |\lambda|=n} \frac{t^{(k+1)\sum l} q^{(k+1)\sum a} (1-t)(1-q) \prod^{0,0} (1 + Aq^{-a'} t^{-l'}) \prod^{0,0} (1 - q^{a'} t^{l'}) (\sum q^{a'} t^{l'})}{\prod (q^a - t^{l+1}) \prod (t^l - q^{a+1})}$$

Данная формула получается как  $n$ -инстантонный вклад в пятимерной  $\mathcal{N} = 1$  СКЭД на  $\mathbb{R}_\Omega^4 \times S_\beta^1$  в общем  $\Omega$ -фоне, с членом Черна-Саймонса уровня  $k$ , и киральной наблюдаемой:

$$P(A, q, t)_{n, nk+1} = t^{-n/2} q^{-n/2} \frac{1}{1 + A \partial(\beta m_f)} \frac{\partial}{\partial(\beta m_f)} \langle \exp(-\beta \Phi) \rangle, \quad m_f = 0 \quad (6.81)$$

Эту статсумму мы обозначим за  $Z$ .

Чтобы редуцироваться к ХОМФЛИ нужно положить  $t = 1/q$ . Тогда эти 2 формулы соотносятся следующим образом:

$$P_{n, nk+1}(A, q, q^{-1}) = (-1)^n \frac{H_{\square}^{n, nk+1}(A, q)}{H_{\square}^{n, 1}(A, q)} = (-1)^n (1 - q) q^{(n-1)/2} H_{\square}^{n, nk+1} \quad (6.82)$$

При этом

$$H_{\square}^{n, nk+1} = (-1)^{n-1} \frac{1 - q^n}{(1 + A) q^n} \frac{\partial \tilde{Z}_n}{\partial(\beta m_f)} \Big|_{m_f \rightarrow 0} \quad (6.83)$$

Из этого соотношения можно получить связь различных наблюдаемых в 2-х теориях. Также это соотношение можно расширить до произвольного торического узла, если вместо простого оператора  $\exp(-\beta \Phi)$  рассмотреть разложение  $M(z)$  - см. раздел 4:

$$M(z) = \exp \left( \sum_{n=1}^{\infty} \frac{z^n t^n \exp(-\beta n \Phi)}{n(t^n - 1)} \right) \quad (6.84)$$

Заметим, что для получения ХОМФЛИ число инстантонов должно совпадать с числом уровня Ч-С. Интересно исследовать вклады с другим числом инстантонов. Этот вопрос был исследован в математической литературе [42]. Оказывается, что такие вклады отвечают сумме с определёнными весами по раскраскам ХОМФЛИ в разные представления. Мы отложим обсуждение этого факта до следующей работы.

Было бы интересно исследовать данное соответствие с точки зрения интегрируемой системы типа Калоджеро. Известно, что данная система напрямую связана с некоммутативными  $U(1)$  инстантонами [43]. С другой стороны, известно как получать полиномы

ХОМФЛИ через рассмотрения состояний с нулевой энергией в системе рационального Калоджеро[44, 45]: в этом подходе также число частиц  $n$  напрямую завязано с константой связи Калоджеро  $g = \nu(\nu + 1)$ , где  $\nu = r/n$ .

## 7 Обсуждение

В данной работе исследовалась связь инстантонов в суперсимметричных калибровочных теориях и инвариантов торических узлов. Показано, что определённые вакуумные средние в таких теориях есть производящие функции для полиномов ХОМФЛИ и суперполиномов. Это единственный известный пример, когда полиномы узлов возникают в разложении статсуммы по параметрам. При этом параметры торического узла  $(n, r)$  отождествляются с инстантонным зарядом  $n$  и электрическим  $r$ . С точки зрения топологических струн, узел рисуется не Лагранжевой браной, а голоморфным инстантоном. Мы сумели связать

- Суперполином  $(n, nk + 1)$  торического узла с 5D СКЭД с членом Черна-Саймонса уровня  $k+1$  в произвольной  $\Omega$ -деформации с 2 гипермультиплетами и с оператором кирального кольца.
- Полином ХОМФЛИ  $(n, r)$  торического узла с 5D СКЭД в самодуальной  $\Omega$ -деформации с 2 гипермультиплетами и с поверхностным оператором. Мы показали, что статсумма такой теории совпадает со статсуммой  $SU(2)$  теории с 4 гипермультиплетами специальной массы.

Не смотря на определённые продвижения, остаётся много открытых проблем. Конечно, главная цель - найти соответствие между произвольным раскрашенным узлом и инстантоном в некоторой теории. С этой проблемой связано 3 основных направления:

- Обобщить связь с суперполиномом до произвольного торического узла. Для этого необходимо лучше понять структуру рафинированного геометрического перехода.
- Понять чему соответствует раскраска узла на языке теории поля. Везде в данной работе мы рассматривали только не раскрашенные узлы (покрашенные в фундаментальное представление).
- Найти связь общих узлов с инстантонами. Мы предполагаем, что узлы на поверхностях старшего рода связаны с  $SU(N)$  теориями.

Также мы исследовали дуальность операторов кирального кольца с поверхностными операторами в суперсимметричной  $U(1)$  теории с помощью техники топологических вертексов. Интересно будет обобщить данную дуальность на общие колчаные теории и вывести эту дуальность из первых принципов.

Хорошо известно, что  $\mathcal{N} = 1, D = 5$  суперсимметричные теории связаны сразу с 2 интегрируемыми системами: одна из них есть ХХЗ спиновая цепочка (и её вырождения), а вторая есть иерархия Уизема. Интересно исследовать связь интегрируемых систем и узлов с этой точки зрения.

Мы начали эту работу с соотношения между  $q, t$ -числами Каталана и инстантонами в СКЭД. Числа Каталана имеют множество комбинаторных интерпретаций. Интересно понять, чему они отвечают с теоретико-полевой точки зрения. Мы предполагаем, что они связаны со счётом нулевых мод в поле инстантона в  $\Omega$ -деформированной теории. Было бы интересно сформулировать это соответствие явно.

## А Формула Джонса-Россо

Формула Джонса-Россо (Д-Р) для полинома ХОМФЛИ-ПТ для  $(n, r)$  торического узла, раскрашенного в представление  $R$  выглядит следующим образом [46]:

$$H_R^{(n,r)}(A, q) = \sum_{\lambda \in R^{\otimes n}} q^{\frac{r}{n} \sum_{\square \in \lambda} (a-l)} c_R^\lambda \chi_\lambda(p^*) \quad (\text{A.85})$$

где:

- $R$  - Диаграмма Юнга определяющая представление
- $c_R^\lambda$  - коэффициенты Адамса, определяемые действием операции Адамса на полиномы Шура  $\chi_\mu(p)$ :

$$\chi_\mu(p^{(n)}) = \sum_{\eta \in \mu^{\otimes n}} c_\mu^\eta \chi_\eta(p) \quad (\text{A.86})$$

В наших обозначениях мы пишем аргументы полиномов Шура через полиномы *степенных рядов*  $p_k = x_1^k + x_2^k + \dots$ . И

$$p_k^{(n)} = p_{nk} = x_1^{nk} + x_2^{nk} + \dots \quad (\text{A.87})$$

- Наконец,  $p^*$  определяют специальный выбор этих полиномов:

$$p_k^* = \frac{(-A)^k - (-A)^{-k}}{q^k - q^{-k}} \quad (\text{A.88})$$

Перепишем формулу Д-Р (А.85) в более явном виде. Хорошо известно[47] , что при специальном выборе  $p^*$  (А.88), полиномы Шура даются формулой:

$$\chi_\lambda(p^*) = q^{\sum a} \frac{\prod(1 + Aq^{l'-a'})}{\prod(1 - q^{a+l+1})} \quad (\text{А.89})$$

Если мы ограничимся фундаментальным представлением  $R = \square$ , тогда есть следующая явная формула для коэффициентов Адамса[48]:

$$c_\square^\lambda = q^{\sum a} (1 - q^n) \frac{\prod^{0,0}(1 - q^{l'-a'})}{\prod(1 - q^{a+l+1})} \quad (\text{А.90})$$

Собирая все факторы вместе, мы получаем следующую формулу для полинома ХОМФЛИ в фундаментальном представлении для  $(n, r)$  торического узла(мы опустили тривиальный множитель  $(1 + A)$ ):

$$H_\square^{(n,r)} = (1 - q^n) \sum_{|\lambda|=n} q^{2\sum a} q^{\frac{r}{n}\sum(a-l)} \frac{\prod^{0,0}(1 - q^{l'-a'}) \prod^{0,0}(1 + Aq^{l'-a'})}{\prod(1 - q^{a+l+1})^2} \quad (\text{А.91})$$

Или эквивалентно:

$$H_\square^{(n,r)}(A, q) = (-1)^{n-1} \frac{1 - q^n}{q^n} \sum_{|\lambda|=n} q^{\left(\frac{r}{n}+1\right)\sum(a-l)} \frac{\prod^{0,0}(1 - q^{a'-l'}) \prod^{0,0}(1 + Aq^{l'-a'})}{\prod(q^{-l-1} - q^a)(q^{-l} - q^{a+1})} \quad (\text{А.92})$$

## В Лагранжева брана и формула Д-Р

Покажем, что формула (4.53) в нерафинированном случае  $q = 1/t$  действительно воспроизводит формулу Джонса-Россо. Во-первых, заметим что благодаря фактору  $\prod^{0,0}(1 - q^{l'-a'})$  вклад дают только диаграммы формы крюка.

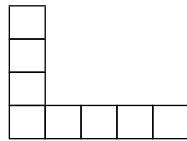


Рис. 11: Диаграмма Юнга формы крюка

Предположим, что такая диаграмма  $\lambda$  имеет горизонтальную "руку" длины  $w$ . Тогда

вертикальная "нога" имеет длину  $n - w + 1$ , т.к. полное число боксов равно  $n$ . В формуле Д-Р зависимость от второго квантового числа  $r$  следующая:

$$q^{\frac{r}{n}(\sum a - \sum l)} = q^{rw - \frac{r(n+1)}{2}} \quad (\text{B.93})$$

В то время в случае Лагранжевой браны:

$$M(z) = \frac{1 - q^w z}{1 - q^{w-n} z} \quad (\text{B.94})$$

Поэтому

$$\text{Coeff}_{z^r} M(z) = q^{r(w-n)}(1 - q^n) \quad (\text{B.95})$$

Мы видим, что кроме нормализационного фактора  $(1 - q^n)q^{r(1-n)/2}$  эти два выражения совпадают.

## Список литературы

- [1] A. Gorsky и A. Milekhin. "Condensates and instanton - torus knot duality. Hidden Physics at UV scale". В: (2014). arXiv: 1412.8455 [hep-th].
- [2] A. Gorsky, A. Milekhin и N. Sopenko. "The Condensate from Torus Knots". В: (2015). arXiv: 1506.06695 [hep-th].
- [3] Edward Witten. "Quantum Field Theory and the Jones Polynomial". В: *Commun.Math.Phys.* 121 (1989), с. 351—399. DOI: 10.1007/BF01217730.
- [4] Hiroshi Ooguri и Cumrun Vafa. "Knot invariants and topological strings". В: *Nucl.Phys.* B577 (2000), с. 419—438. DOI: 10.1016/S0550-3213(00)00118-8. arXiv: hep-th/9912123 [hep-th].
- [5] Tudor Dimofte, Davide Gaiotto и Sergei Gukov. "Gauge Theories Labelled by Three-Manifolds". В: *Commun.Math.Phys.* 325 (2014), с. 367—419. DOI: 10.1007/s00220-013-1863-2. arXiv: 1108.4389 [hep-th].
- [6] Hee-Joong Chung и др. "3d-3d Correspondence Revisited". В: (2014). arXiv: 1405.3663 [hep-th].
- [7] Sergei Gukov, Albert S. Schwarz и Cumrun Vafa. "Khovanov-Rozansky homology and topological strings". В: *Lett.Math.Phys.* 74 (2005), с. 53—74. DOI: 10.1007/s11005-005-0008-8. arXiv: hep-th/0412243 [hep-th].

- [8] Mina Aganagic и Shamil Shakirov. “Knot Homology and Refined Chern-Simons Index”. B: *Commun.Math.Phys.* 333.1 (2015), с. 187—228. DOI: 10.1007/s00220-014-2197-4. arXiv: 1105.5117 [hep-th].
- [9] Nikita A. Nekrasov. “Seiberg-Witten prepotential from instanton counting”. B: *Adv.Theor.Math.Phys.* 7 (2004), с. 831—864. DOI: 10.4310/ATMP.2003.v7.n5.a4. arXiv: hep-th/0206161 [hep-th].
- [10] Nikita Nekrasov и Andrei Okounkov. “Seiberg-Witten theory and random partitions”. B: (2003). arXiv: hep-th/0306238 [hep-th].
- [11] K. Bulycheva, A. Gorsky и S. Nechaev. “Critical behavior in topological ensembles”. B: (2014). arXiv: 1409.3350 [hep-th].
- [12] A.M. Garsia и M. Haiman. “A Remarkable  $q, t$ -Catalan Sequence and  $q$ -Lagrange Inversion”. English. B: *Journal of Algebraic Combinatorics* 5.3 (1996), с. 191—244. ISSN: 0925-9899. DOI: 10.1023/A:1022476211638. URL: <http://dx.doi.org/10.1023/A%3A1022476211638>.
- [13] E Gorsky. “ $q, t$ -Catalan numbers and knot homology”. B: *Zeta functions in algebra and geometry* (2012), с. 213—232. arXiv: 1003.0916.
- [14] Hiraku Nakajima. *Lectures on Hilbert schemes of points on surfaces*. Т. 18. American Mathematical Society Providence, 1999.
- [15] Amer Iqbal, Can Kozcaz и Cumrun Vafa. “The Refined topological vertex”. B: *JHEP* 0910 (2009), с. 069. DOI: 10.1088/1126-6708/2009/10/069. arXiv: hep-th/0701156 [hep-th].
- [16] Amer Iqbal, Can Kozcaz и Khurram Shabbir. “Refined Topological Vertex, Cylindric Partitions and the  $U(1)$  Adjoint Theory”. B: *Nucl.Phys.* B838 (2010), с. 422—457. DOI: 10.1016/j.nuclphysb.2010.06.010. arXiv: 0803.2260 [hep-th].
- [17] Kenneth A. Intriligator, David R. Morrison и Nathan Seiberg. “Five-dimensional supersymmetric gauge theories and degenerations of Calabi-Yau spaces”. B: *Nucl.Phys.* B497 (1997), с. 56—100. DOI: 10.1016/S0550-3213(97)00279-4. arXiv: hep-th/9702198 [hep-th].
- [18] Albrecht Klemm и Piotr Sulkowski. “Seiberg-Witten theory and matrix models”. B: *Nucl.Phys.* B819 (2009), с. 400—430. DOI: 10.1016/j.nuclphysb.2009.04.004. arXiv: 0810.4944 [hep-th].
- [19] P. Dunin-Barkowski и др. “Superpolynomials for toric knots from evolution induced by cut-and-join operators”. B: *JHEP* 1303 (2013), с. 021. DOI: 10.1007/JHEP03(2013)021. arXiv: 1106.4305 [hep-th].



- [20] Alexei Oblomkov и Vivek Shende. “The Hilbert scheme of a plane curve singularity and the HOMFLY polynomial of its link”. В: *Duke Math. J.* 161.7 (май 2012), с. 1277–1303. DOI: 10.1215/00127094-1593281. arXiv: 1201.2115. URL: <http://dx.doi.org/10.1215/00127094-1593281>.
- [21] Mark Haiman. “t, q-Catalan numbers and the Hilbert scheme”. В: *Discrete Mathematics* 193.1 (1998), с. 201–224.
- [22] Ksenia Bulycheva и Alexander Gorsky. “BPS states in the Omega-background and torus knots”. В: *JHEP* 1404 (2014), с. 164. DOI: 10.1007/JHEP04(2014)164. arXiv: 1310.7361 [hep-th].
- [23] Albion E. Lawrence и Nikita Nekrasov. “Instanton sums and five-dimensional gauge theories”. В: *Nucl.Phys.* B513 (1998), с. 239–265. DOI: 10.1016/S0550-3213(97)00694-9. arXiv: hep-th/9706025 [hep-th].
- [24] Andrei S. Losev, Andrei Marshakov и Nikita A. Nekrasov. “Small instantons, little strings and free fermions”. В: (2003). arXiv: hep-th/0302191 [hep-th].
- [25] N. Nekrasov. “Non-Perturbative Schwinger–Dyson Equations: From BPS/CFT Correspondence to the Novel Symmetries of Quantum Field Theory”. В: (2014). Gorsky, Alexander(ed.) and Vysotsky, Mikhail(ed.), Proceedings, 100th anniversary of the birth of I.Ya. Pomeranchuk (Pomeranchuk 100). DOI: 10.1142/9242.
- [26] Davide Gaiotto, Sergei Gukov и Nathan Seiberg. “Surface Defects and Resolvents”. В: *JHEP* 1309 (2013), с. 070. DOI: 10.1007/JHEP09(2013)070. arXiv: 1307.2578; Luis F. Alday и др. “Loop and surface operators in N=2 gauge theory and Liouville modular geometry”. В: *JHEP* 1001 (2010), с. 113. DOI: 10.1007/JHEP01(2010)113. arXiv: 0909.0945 [hep-th].
- [27] Davide Gaiotto, Sergei Gukov и Nathan Seiberg. “Surface Defects and Resolvents”. В: *JHEP* 1309 (2013), с. 070. DOI: 10.1007/JHEP09(2013)070. arXiv: 1307.2578.
- [28] Luis F. Alday и др. “Loop and surface operators in N=2 gauge theory and Liouville modular geometry”. В: *JHEP* 1001 (2010), с. 113. DOI: 10.1007/JHEP01(2010)113. arXiv: 0909.0945 [hep-th].
- [29] Davide Gaiotto. “Surface Operators in N = 2 4d Gauge Theories”. В: *JHEP* 1211 (2012), с. 090. DOI: 10.1007/JHEP11(2012)090. arXiv: 0911.1316 [hep-th].
- [30] Eugene Gorsky, Sergei Gukov и Marko Stosic. “Quadruply-graded colored homology of knots”. В: (2013). arXiv: 1304.3481 [math.QA].
- [31] E. Gorsky и A. Neguţ. “Refined knot invariants and Hilbert schemes”. В: *ArXiv e-prints* (апр. 2013). arXiv: 1304.3328 [math.RT].

- [32] M. Bershadsky и др. “Kodaira-Spencer theory of gravity and exact results for quantum string amplitudes”. В: *Commun.Math.Phys.* 165 (1994), с. 311–428. DOI: 10.1007/BF02099774. arXiv: hep-th/9309140 [hep-th].
- [33] Rajesh Gopakumar и Cumrun Vafa. “On the gauge theory / geometry correspondence”. В: *Adv.Theor.Math.Phys.* 3 (1999), с. 1415–1443. arXiv: hep-th/9811131 [hep-th].
- [34] Nathan M. Dunfield, Sergei Gukov и Jacob Rasmussen. “The Superpolynomial for knot homologies”. В: (2005). arXiv: math/0505662 [math.GT].
- [35] Hidetoshi Awata и Hiroaki Kanno. “Changing the preferred direction of the refined topological vertex”. В: *J.Geom.Phys.* 64 (2013), с. 91–110. DOI: 10.1016/j.geomphys.2012.10.014. arXiv: 0903.5383 [hep-th].
- [36] Luis F. Alday, Davide Gaiotto и Yuji Tachikawa. “Liouville Correlation Functions from Four-dimensional Gauge Theories”. В: *Lett.Math.Phys.* 91 (2010), с. 167–197. DOI: 10.1007/s11005-010-0369-5. arXiv: 0906.3219 [hep-th].
- [37] Hidetoshi Awata и Yasuhiko Yamada. “Five-dimensional AGT Conjecture and the Deformed Virasoro Algebra”. В: *JHEP* 1001 (2010), с. 125. DOI: 10.1007/JHEP01(2010)125. arXiv: 0910.4431 [hep-th].
- [38] Can Kozcaz, Sara Pasquetti и Niclas Wyllard. “A and B model approaches to surface operators and Toda theories”. В: *JHEP* 1008 (2010), с. 042. DOI: 10.1007/JHEP08(2010)042. arXiv: 1004.2025 [hep-th].
- [39] Ricardo Schiappa и Niclas Wyllard. “An A(r) threesome: Matrix models, 2d CFTs and 4d N=2 gauge theories”. В: *J.Math.Phys.* 51 (2010), с. 082304. DOI: 10.1063/1.3449328. arXiv: 0911.5337 [hep-th].
- [40] Ling Bao и др. “M5-Branes, Toric Diagrams and Gauge Theory Duality”. В: *JHEP* 1204 (2012), с. 105. DOI: 10.1007/JHEP04(2012)105. arXiv: 1112.5228 [hep-th].
- [41] Masato Taki. “Surface Operator, Bubbling Calabi-Yau and AGT Relation”. В: *JHEP* 1107 (2011), с. 047. DOI: 10.1007/JHEP07(2011)047. arXiv: 1007.2524 [hep-th].
- [42] Pavel Etingof, Eugene Gorsky и Ivan Losev. “Representations of rational Cherednik algebras with minimal support and torus knots”. В: *Advances in Mathematics* 277.0 (2015), с. 124 —180. ISSN: 0001-8708. DOI: <http://dx.doi.org/10.1016/j.aim.2015.03.003>. arXiv: 1304.3412. URL: <http://www.sciencedirect.com/science/article/pii/S0001870815000869>.
- [43] Harry W. Braden и Nikita A. Nekrasov. “Space-time foam from noncommutative instantons”. В: *Commun.Math.Phys.* 249 (2004), с. 431–448. DOI: 10.1007/s00220-004-1127-2. arXiv: hep-th/9912019 [hep-th].

- [44] Evgeny Gorsky. “Arc spaces and DAHA representations”. В: *Selecta Mathematica* 19.1 (2013), с. 125—140. arXiv: 1110.1674.
- [45] Eugene Gorsky и др. “Torus knots and the rational DAHA”. В: *Duke Math. J.* 163.14 (нояб. 2014), с. 2709—2794. DOI: 10.1215/00127094-2827126. arXiv: 1207.4523. URL: <http://dx.doi.org/10.1215/00127094-2827126>.
- [46] Marc Rosso и Vaughan Jones. “On the invariants of torus knots derived from quantum groups”. В: *Journal of Knot Theory and its Ramifications* 2.01 (1993), с. 97—112.
- [47] Ian Grant Macdonald. *Symmetric functions and Hall polynomials*. Oxford university press, 1998.
- [48] Shamil Shakirov. “ $\beta$ -Deformation and Superpolynomials of (n,m) Torus Knots”. В: (2011). arXiv: 1111.7035 [math-ph].